УДК 637.531.45

Поступила в редакцию 14.03.08

ПОВЫШЕНИЕ ЭФФЕКТИВНОСТИ ПРОЦЕССА ТОНКОГО ИЗМЕЛЬЧЕНИЯ МЯСНОГО СЫРЬЯ В ЭМУЛЬСИТАТОРАХ

А.А. БРЕНЧ¹, М.О. ФИЛИППОВИЧ², Л.Т. ТКАЧЕВА¹

¹Белорусский государственный аграрный технический университет, Минск, Республика Беларусь ²ОАО «Ошмянский мясокомбинат», Ошмяны, Республика Беларусь

На основе математической модели перфорированной пластины разработаны и изготовлены новые конструкции ножевых решеток эмульситатора, имеющие одинаковую пропускную способность по всей рабочей поверхности, минимальное гидравлическое (аэродинамическое) сопротивление на прокачку рабочего тела и наибольшую пропускную способность. Применение разработанного режущего инструмента в зависимости от требуемой степени измельчения позволяет: снизить прирост температуры на 15,1...18,3 %, повысить производительность на 10,3...18,1 % и уменьшить удельную энергоемкость на 7,1...10,8 %.

On the basis of mathematical model of the punched plate new designs of knifes of lattices of the grinder, having identical throughput on all working surface, the minimal hydraulic resistance on prorolling of a working body, and the greatest throughput are developed and made. Application of the developed cutting tool depending on a required degree of crushing allows: to lower a gain of temperature on 15,1 ... 18,3 %, to raise productivity on 10,3 ... 18,1 % and to reduce specific power consumption on 7,1 ... 10,8 %.

Введение

Мясопродукты представляют собой сложные по химическому составу и структурному строению вещества. Нагревание измельчаемого мясного сырья вызывает в нем нежелательные физико-химические изменения. С целью предотвращения перегревания процесс измельчения осуществляют в несколько стадий. Вначале сырье измельчается в волчках путем использования в режущем узле ряда ножей и перфорированных решеток. диаметр которых ступенчато изменяется до 0,003 м в выходных решетках. Для более тонкого измельчения применяются куттера. Также для тонкого измельчения мясного сырья применяются эмульситаторы [1, 2]. Данные машины оснащены режущим механизмом, состоящим из вращаю- щейся с валом двигателя ножевой головки, оснащенной 3-мя или 6-ю сменными лезвиями (вставками) и решеткой, закрепляемой в корпусе режущей камеры. Наличие осевой регулировки зазора между ножевыми вставками и решеткой позволяет изменять пропускную способность, температуру и степень измельчения обрабатываемого продукта.

Однако, несмотря на разнообразие типов мясоизмельчительных машин, в ряде случаев они не обеспечивают выполнение технологических требований по качественному измельчению мясного сырья. В работе эмульситаторов часто наблюдается ухудшение качества отрезания и затаскивание пленок и волокон в образующийся между ножом и решеткой зазор: необходимо постоянное плотное прилегание вращающихся ножей к плоскостям решеток, что в свою очередь приводит к более интенсивному износу трущейся пары и к снижению эксплуатационной надежности машины.

Основная часть Математическая модель решетки эмульситатора

Комплексные исследования структурно-механических и ряда технологических характеристик фарша при измельчении не позволяют научно обоснованно подойти к расчету, осуществлению и прогнози-рованию этого процесса с целью получения готовых продуктов высокого качества при стабилизированных выходах. В результате любого механического воздействия (перемешивания, растирания, измельчения, резания и пр.) на продукт изменяются величины его физических свойств и технологические показатели. Для получения желаемого эффекта необходимо подвести к продукту определенное количество полезной энергии, которая вызывает изменение качества продукта. Другая часть

энергии из общей расходуется на преодоление сил сопротивления и трения, преобразуясь в теплоту.

Решетка эмульситатора (перфорированная пластина) должна иметь одинаковую пропускную способность по всей рабочей поверхности и минимальное гидравлическое (аэродинамическое) сопротивление на прокачку рабочего тела.

Разобьем теперь перегородку (рис. 1) на условные концентрические окружности, радиусы которых определяются по формуле:

$$R_n = (\sqrt{\Phi})^n R_0, n = 1, 2, 3, 4 ...,$$
 (1)

где $R_{\rm o}$ — радиус центрального отверстия; Φ — коэффициент «золотой» пропорции (Φ = 1,618) [3].

Отметим, что отверстия в кольцах располагаются на центральных радиусах каждого кольца. При этом предположении нетрудно показать, что пропускная способность любого кольца будет примерно одинаковой, если выбирать количество отверстий в каждом кольце равным соответствующим числу Фибоначчи. Действительно, пропускная способность *п*-го кольца с числом отверстий *а* равна

$$K_{i,n} = \frac{a_i f_0}{\pi (R_n^2 - R_{n-1}^2)},$$
 (2)

где $f=\pi {r_0}^2-$ площадь отверстия. Соответственно для (i+1)-го кольца с числом отверстий (n+1) имеем

$$K_{i+1,n+1} = \frac{a_{n+1}f_0}{\pi(R_{i+1}^2 - R_i^2)},$$
 (3)

По условию $K_{i,n} pprox K_{i+1,n+1}$, следовательно,

$$\frac{a_n f_0}{\pi \left(R_i^2 - R_{i+1}^2\right)} : \frac{a_{n+1} f_0}{\pi \left(R_{i+1}^2 - R_i^2\right)} = 1. \tag{4}$$

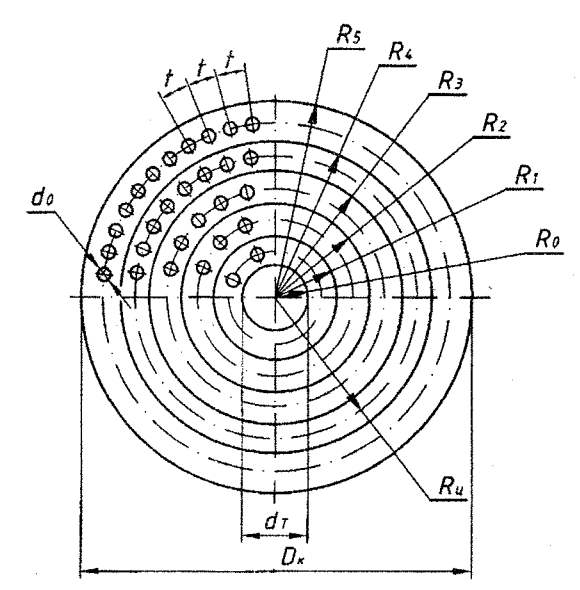


Рис. 1 Схема перегородки, перфорация которой рассчитана на основе соотношения «золотой» пропорции: $D_{\rm k}$ – диаметр наружного корпуса перегородки; $d_{\rm t}$ – диаметр посадочного отверстия; $d_{\rm t}$ – диаметр отверстий; $R_{\rm t}$ – радиус посадочного отверстия; $R_{\rm t}$ – радиус первого условного кольца; $R_{\rm t}$ – центральный радиус n-го условного кольца

Отсюда получаем:

$$\frac{a_{n+1}}{a_n} \approx \frac{R_{i+1}^2 - R_i^2}{R_i^2 - R_{i-1}^2} = \frac{\alpha^{i+1} R_0^2 - \alpha^i R_0^2}{\alpha^i R_0^2 - \alpha^{i-1} R_0^2} = \Phi$$
 (5)

Таким образом, чем больше количество отверстий \mathcal{A}_n в кольцах, тем точнее будет соблюдаться условие $K_{i,n} \approx K_{i+1,n+1}$ и, тем самым, будет умень- шаться аэродинамическое (гидравлическое) сопротивление перегородки.

Данная модель справедлива при любом диаметре отверстий и различных их количествах, но значения диаметров отверстий и их число должно быть принято из ряда чисел Фибоначчи [4].

Результаты

экспериментальных исследований

В колбасном цехе ОАО «Ошмянский мясокомбинат» для проведения исследований был разработан и изготовлен экспериментальный стенд, состоящий из промышленного эмульситатора KS F10/031 и контрольно-измерительных приборов.

Конструктивными и режимным входными регулируемыми параметрами эмульситатора выбраны коэффициент проходного сечения ножевой решетки (K_{np}), толщина решетки (σ , мм), частота вращения ножа (n_{np} , об/мин) и коэффициент заполнения загрузочной воронки (K_{np}).

Коэффициент проходного сечения ножевой решетки определяется по формуле:

$$K_{np} = \frac{F_p}{\sum F_o} = \frac{\frac{\pi \cdot d_p^2}{4} - \frac{\pi \cdot d_{n.o.}^2}{4}}{\frac{\pi \cdot d_o^2}{4 \cdot z}} = \frac{d_p^2 - d_{n.o.}^2}{d_o^2 \cdot z}, \quad (6)$$

где $F_{_p}$ – площадь ножевой решетки, \mathbf{M}^2 , $\sum_{\sigma_p} F_{_p}$ – суммарная площадь отверстий в ре-шетке, \mathbf{M}^2 , σ_p – диаметр решетки, \mathbf{M} ,

 $d_{p,o}$ – диаметр решетки, м, $d_{p,o}$ – диаметр посадочного отверстия, м,

 $d_{o}^{''}$ – диаметр отверстия в ножевой решетке, м,

z – количество отверстий в ножевой решетке.

В результате произведенных расчетов для серийной решетки с диаметром отверстий 10 мм $K_{\rm np1}$ = 0,46; для разработанной решетки с диаметром отверстий 10 мм $K_{\rm np2}$ = 0,47; для серийной решетки с диаметром отверстий 5 мм $K_{\rm np3}$ = 0,35; для разра-ботанной решетки с диаметром отверстий 5 мм $K_{\rm np2}$ = 0,45.

Также одним из определяющих факторов, влияющих на качество и энергоемкость процесса измельчения мясного сырья в эмульситаторах, является толщина ножевой решетки, которая варьируется в пределах от 6 до 12 мм (σ_1 = 6 мм, σ_2 = 8 мм, σ_3 = 10 мм, σ_4 = 12 мм).

Коэффициент заполнения загрузочной воронки варьировался в пределах от 0,25 до 1 ($K_{31} = 0,25$, $K_{32} = 0,5$, $K_{33} = 0,75$, $K_{34} = 1$).

Для определения оптимальных режимных параметров работы эмульситатора в эксперименте задавали частоту вращения ножа в диапазоне от 1500 до 3000 об/мин (n_1 = 1500 об/мин, n_2 = 2000 об/мин, n_3 = 2500 об/мин, n_4 = 3000 об/мин).

В качестве выходных параметров выбраны производительность эмульситатора (П, кг/ч), прирост температуры сырья во время измельчения (Δt , °C) и удельная энергоемкость процесса (п. Вт•ч/кг)

ная энергоемкость процесса (n_{уд}, Bт•ч/кг)

Таким образом, для экспериментальных исследований процесса тонкого измельчения в эмульситаторах были выбраны следующие характеристики:

- коэффициент проходного сечения ножевой решетки K_{nn} ;
 - толщина ножевой решетки (s, мм).
 - частота вращения ножа (п, об/мин).
 - коэффициент заполнения загрузочной воронки (К.).
 - производительность эмульситатора (П, кг/ч),
- прирост температуры сырья во время измельчения (∆t, °C)
 - удельная энергоемкость процесса (n_{xx}, Вт•ч/кг)

После обработки результатов эксперимента получена графическая зависимость прироста температуры от управляемых переменных: коэффициента проходного сечения решетки (K_{np}); толщины решетки (K_{np}), толщины воронки (K_{np}), представленная на рис. 2.

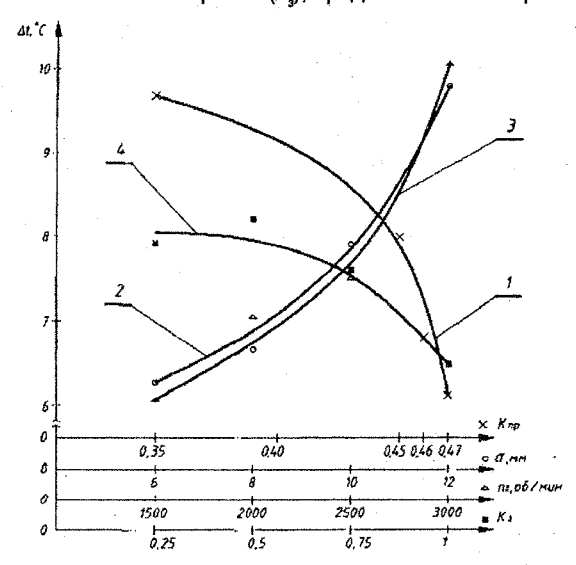


Рис. 2. Зависимость прироста температуры эмульситатора от управляемых переменных: $1 - K_{nc}$; $2 - \sigma$, 3 - n, $4 - K_{3}$

Полученный график позволяет наглядно оценить степень влияния режимно-конструктивных параметров эмульситатора на прирост температуры обрабатываемого сырья в процессе измельчения.

Для прогнозирования и расчетов основных технологических характеристик обрабатываемого сырья после обработки экспериментальных данных получено уравнение, позволяющее определять прирост температуры во время измельчения:

$$\Delta t = 0.0038 K_{np}^{-1.29} \sigma^{0.63} n^{0.66} K_3^{-0.11},$$

где K_{np} – коэффициент проходного сечения ножевой решетки; σ – толщина ножевой решетки, мм; n – частота вращения ножа, об/мин; К – коэффициент заполнения загрузочной воронки.

После анализа значимости влияния каждого входного параметра, по показателю степени, было получено следующее уравнение:

 $\Delta t = 0.0038 K_{np}^{-1,29} \sigma^{0.63} n^{0.66}$. (8) Для графического отражения влияния конструктивных параметров режущего инструмента на производительность построена зависимость производительности от управляемых переменных K_{np} , σ , n, K_{3} (рис. 3).

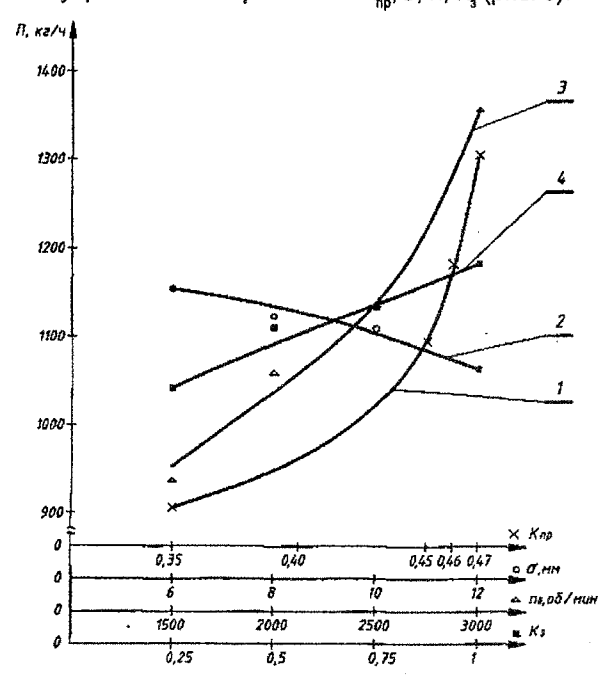


Рис. 3. Зависимость производительности эмульситатора от управляемых переменных: $1 - K_{nn}$; $2 - \sigma$, 3 - n, 4 - K

При обработке полученных экспериментальных данных получена зависимость производительности конструктивных параметров эмульситатора

$$\Pi = 70.53K_{np}^{1.05}\sigma^{-0.1}n^{0.51}K_{3}^{0.09}.$$
 (9)

После анализа значимости влияния каждого входного параметра, по показателю степени, было получено следующее уравнение:

$$\Pi = 70,53K_{np}^{1,05}n^{0.51}. (10)$$

Комплексные исследования структурно-механических и технологических характеристик фарша при тонком измельчении фарша в эмульситаторе позволили научно обоснованно подойти к расчету, осуществлению и прогнозированию этого процесса с целью получения готовых продуктов высокого качества.

На рис. 4 представлена зависимость удельной энергоемкости эмульситатора (n_{y_A} , Вт•ч/кг), выбранная основным энергетическим параметром, характеризующим работу эмульситатора от K_{np} , σ , n и K_{s} .

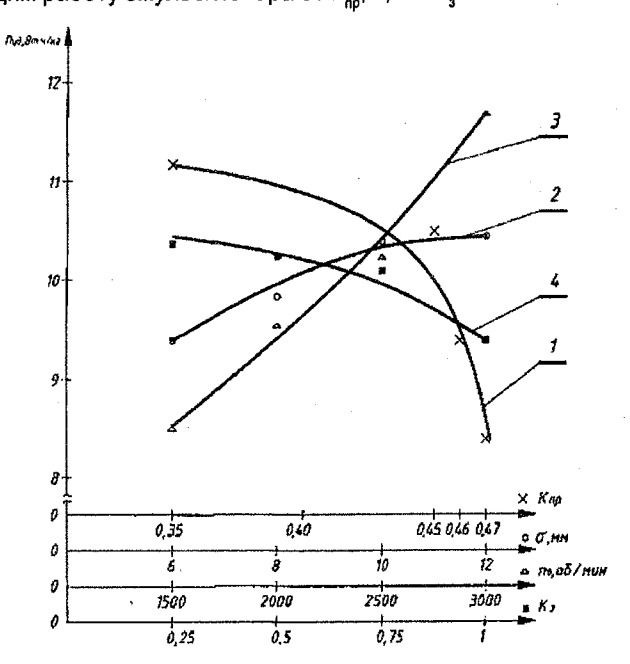


Рис. 4. Зависимость удельной энергоемкости эмульситатора от управляемых переменных: $1 - K_{np}$; 2 - $\sigma, 3 - n, 4 - K$

Уравнение для определения удельной энергоемкости процесса измельчения имеет вид:

$$n_{y\partial} = 0.13 K_{np}^{-0.72} \sigma^{0.15} n^{0.44} K_3^{-0.05}$$
 (11)

После анализа значимости влияния каждого входного параметра, по показателю степени, было получено следующее уравнение:

$$n_{y\partial} = 0.13 K_{np}^{-0.72} \sigma^{0.15} n^{0.44}$$
 (12)

Полученные экспериментальные зависимости удельной энергоемкости процесса тонкого измельчения мясного сырья, производительности и прироста температуры сырья от режимных и конструктивных особенностей эмульситатора, позволяют наглядно доказать возможность применения разработанных конструкций режущего инструмента.

В результате проведенных исследований можно сделать следующие выводы:

1. Наибольшее влияние на прирост температуры оказывает коэффициент проходного сечения решетки, ее толщина и частота вращения ножа. Причем, как видно из графиков, при одинаковой степени измельчения (d_s = 10 мм) использование разработанной конструкции решетки снижает прирост температуры сырья на 18,3 % по сравнению с серийной. При d = 5 мм применение нового режущего инструмента позволяет снизить прирост температуры на 15,1 %.

Инженерный Вестник

- 2. Определяющими параметрами, влияющими на производительность, являются коэффициент проходного сечения решетки и частота вращения ножа. Причем, как видно из графиков, при одинаковой степени измельчения ($d_o = 10\,$ мм) использование разработанной конструкции решетки повышает производительность на 18,1 % по сравнению с серийной. При $d_o = 5\,$ мм применение нового режущего инструмента позволяет повысить производительность на 10,3 %.
- 3. Главными параметрами, влияющими на энергоемкость процесса тонкого измельчения из исследуемых параметров, являются коэффициент проходного сечения решетки, ее толщина и частота вращения ножа. Как видно из графиков, при одинаковой степени измельчения (d_o = 10 мм) возможно уменьшить удельную энергоемкость на 7,1 %. Использование разработанного нового режущего инструмента с диаметрами отверстий d_o = 5 мм позволяет уменьшить удельную энергоемкость на 10,8 %.

Заключение

На основе математической модели перфорированной пластины разработаны и изготовлены новые конструкции ножевых решеток эмульситатора, имеющие одинаковую пропускную способность по всей рабочей поверхности, минимальное гидравлическое (аэродинамическое) сопротивление на прокачку рабочего тела, и наибольшую пропускную способность.

Новый режущий механизм успешно прошел производственные сравнительные испытания в колбасном цехе ОАО «Ошмянский мясокомбинат» на базе промышленного эмульситатора KS F10/031.

Применение разработанного режущего инструмента в зависимости от требуемой степени измельчения позволяет: снизить прирост температуры на 15,1...18,3 %, повысить производительность на 10,3...18,1 % и уменьшить удельную энергоемкость на 7,1...10,8 %.

СПИСОК ЛИТЕРАТУРЫ

- 1. Тимощук, И.И. Общая технология мяса и мясопродуктов / И.И. Тимощук, Н.А. Головаченко, С.А. Сенников. Урожай, 1989. 216 с.
- 2. Пелеев, А.И. Технологическое оборудование предприятий мясной промышленности / А.И. Пелеев М.: Пищевая пром-сть, 1971. 520 с.
- 3. Груданов, В.Я. «Золотая» пропорция в инженерных задачах / В.Я. Груданов. Могилев.: МГУ им. А.А. Кулешова, 2006. 288 с.
- 4. Решетка к измельчителю мясо-костного сырья / Груданов В.Я., Манько А.П., Иванцов В.И., Белохвостов Г.И. // Патент РФ №2047368. М.кл.В02С 18/36, заявлено 16.11.92., опубл. 10.11.95. Бюлл. № 31.